

Ecole d'Eté 2018

Fondements des Conventions IERS

Rotation terrestre

I - Description cinématique et paramètres de rotation

Ch. Bizouard

Observatoire de Paris - SYRTE IERS Earth Orientation Center



















Plan

I-Introduction

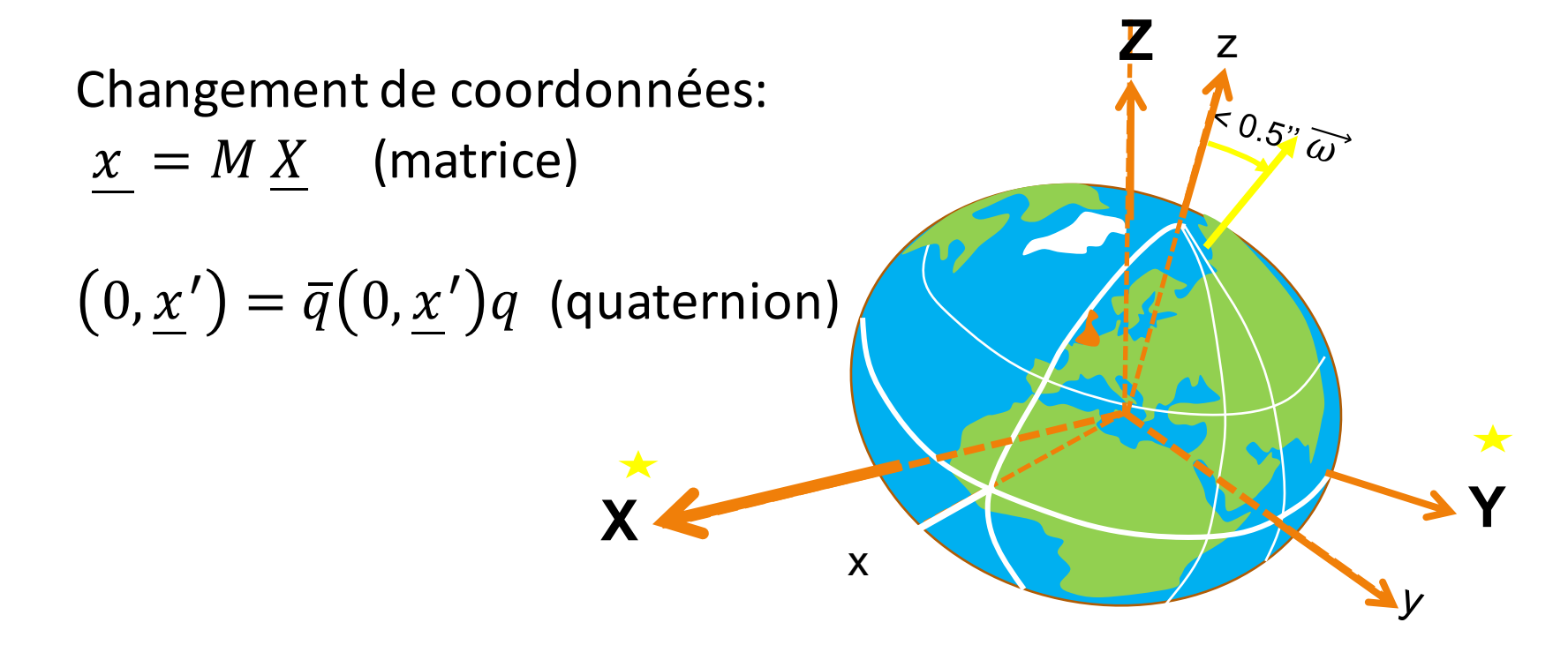
II- Principe de la modélisation cinématique et géométrique de la rotation terrestre [IERS Conv Chap 5]

III-Les paramètres de rotation de la Terre et leur partie modélisée [IERS Conv Chap 5/8]

IV- Calcul pratique de la transformation de coordonnées

Objectif du cours

Donner les principes fondant la description contemporaine de transformation géométrique de rotation **M** du système de référence céleste géocentrique (GCRS) GXYZ au système de référence terrestre Gxyz (TRS) (ou réciproquement!) adoptée dans les conventions IERS



I-Introduction

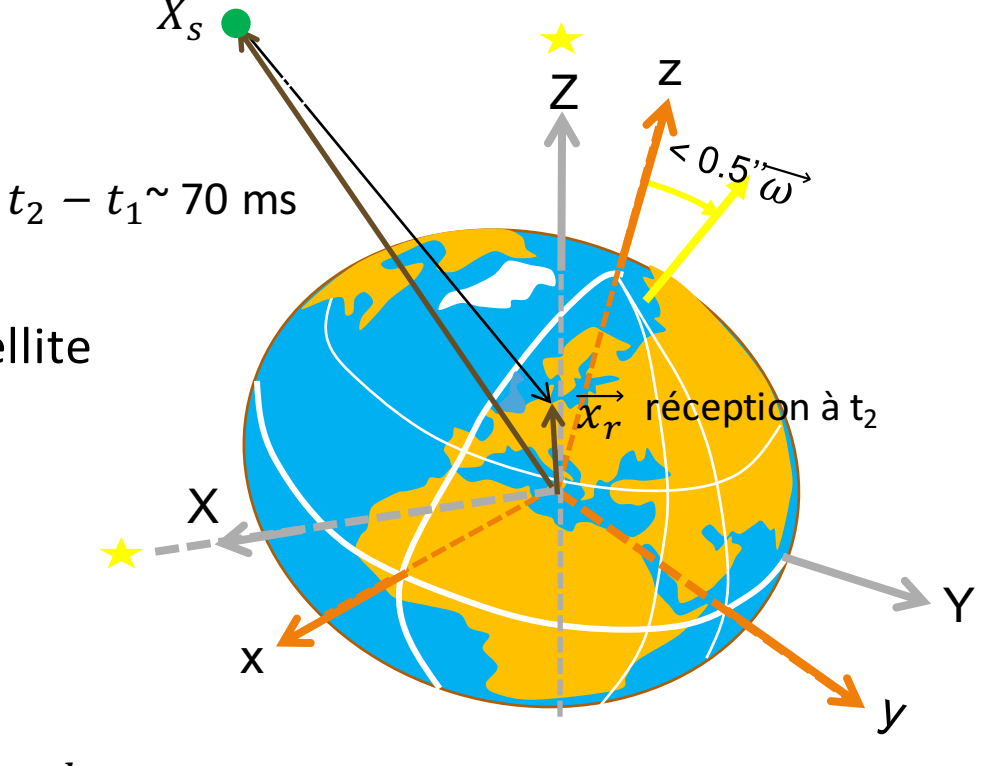
Que donnent les observations?

Les observations de géodésie spatiale sont **avant tout** «sensibles» à la transformation géométrique de rotation et non pas aux composantes du vecteur instantané de rotation \acute{e} mission à t_1

Exemple des GNSS:

- X_s : coordonnées célestes du satellite (dans GXYZ)
- x_r : coordonnées terrestres du récepteur (dans Gxyz)
- $\underline{x_s} = Q \underline{X_s}$

$$d = \frac{\tau}{c} = \underbrace{\left\| \underline{x_r} - Q\underline{X_s} \right\|}_{pseudo-distance} + \underbrace{d_{tropo}}_{Influence} + d_{iono} + \dots$$



Observations reliées aux vecteur instantané de rotation

- Les observations satellitaires (GNSS, SLR, DORIS) permettent d'accéder à la variation de l'angle de rotation par jour, proportionnelle à ω_z
- Mesures gyroscopiques \rightarrow vecteur de rotation local de l'instrument $\vec{\omega}$ (incluant marées solides et déformations de charge)
- \rightarrow Développement des gyroscopes laser et à ondes de matière pour déterminer les composantes terrestres de $\vec{\omega}$

Sensibilité actuelle en deçà de la précision des techniques de géodésie spatiale:

- Gyrolaser de Wetzell: $10^{-7} \Omega$ (mouvement du pôle, nutation diurne)
- Gyroscope atomique de l'Observatoire de Paris: $10^{-4} \Omega$

I-Introduction

Relations entre le vecteur instantané de rotation et

la transformation de rotation

Relations cinématiques

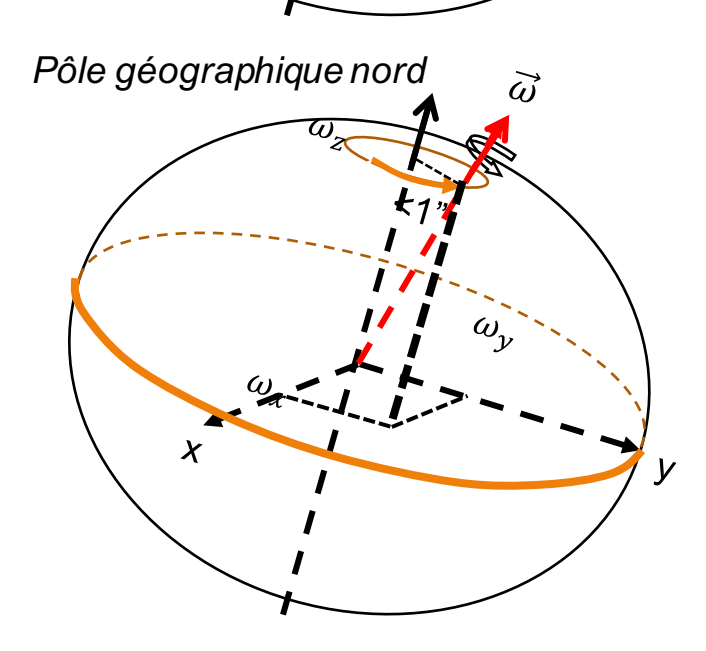
• D'Euler ou apparentées

$$\dot{\phi} + \dot{\psi}cos\ \theta = \omega_z$$

$$\dot{\theta} + i \dot{\psi} \sin\theta = (\omega_x + i\omega_y)e^{i\phi}$$

$$\begin{pmatrix} 0 & -\omega_z & \omega_y \\ \omega_z & 0 & -\omega_x \\ -\omega_y & \omega_x & 0 \end{pmatrix} = M\dot{M}^{-1}$$

• « Quaternioniques » $(0, \omega_x, \omega_y, \omega_z) = 2\bar{q}\dot{q}$



Gxyz : système de référence terrestre

I-Introduction

II- Principe de la modélisation cinématique et géométrique de la rotation terrestre [IERS Conv Chap 5]

III-Les paramètres de rotation de la Terre et leur partie modélisée [IERS Conv Chap 5/8]

IV- Calcul pratique de la transformation de coordonnées

Pourquoi une description à trois rotations élémentaires n'est-elle pas appropriée?

- Exemple des trois angles d'Euler
- La précision actuelle de l'orientation est 0.1 mas = $5 \cdot 10^{-10}$ rad.
- Or, en raison de la rotation diurne, la Terre tourne de cet angle en $\frac{5\,10^{-10}}{7.292115\,10^{-5}} \sim 10^{-5}\,s = 10\,\mu s$
- Une description à trois paramètres avec une précision de 0.1 mas nécessiterait de les fournir tous les 10 μs

$$\rightarrow 3 * \frac{86400}{10^{-5}} \sim 310^{10}$$
 paramètres par jour!!!

La description à trois paramètres n'est pas optimale!

Principe de la description de la rotation terrestre

On sépare les variations connues et prédictibles (la majeure partie de la transformation géométrique) des perturbations irrégulières qui ne font pas l'objet d'un modèle analytique en fonction du temps.

Ces perturbations sont estimées avec une cadence de l'ordre de la journée, voire une heure dans le meilleur des cas: de 5 à 72 paramètres par jour.

La rotation diurne terrestre

La rotation entre système céleste et terrestre est avant tout constituée par la rotation diurne à la vitesse angulaire $\Omega=7.292\ 115\ 10^{-5}$ rad/s.

$$\theta(t) = \Omega t$$

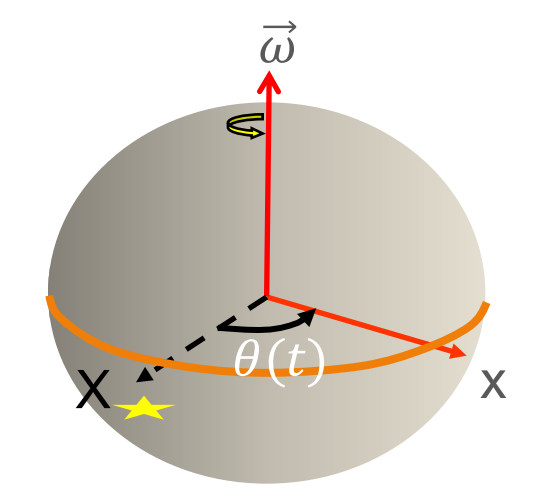
$$t = TU =$$
Temps Universel Universal Time (UT)

En l'absence de toute perturbation, la rotation est uniforme autour d'un axe invariable:

$$M = \underbrace{R_3(\Omega \text{ UT})}_{\text{rotation diurne}}$$

Le pôle géographique et le pôle de rotation sont identiques

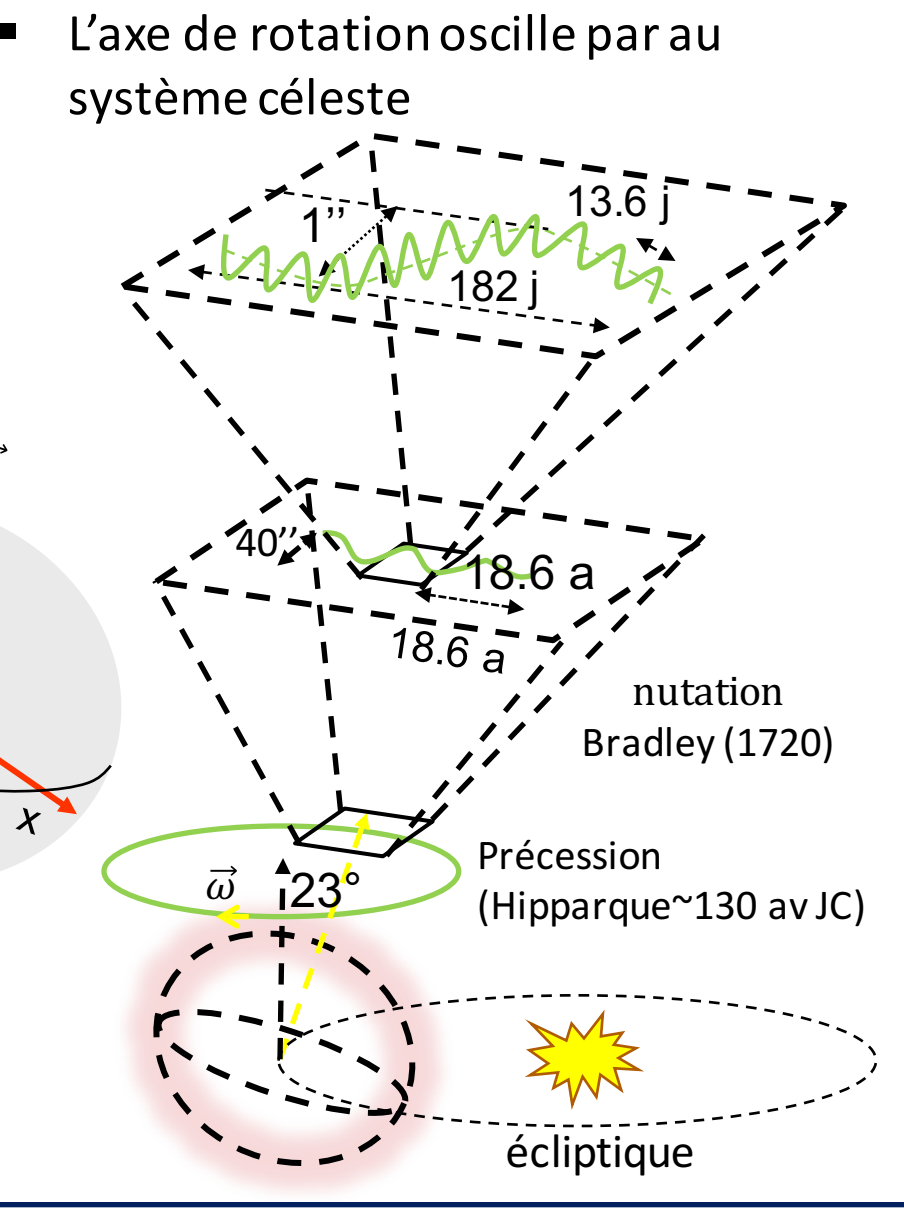
	Perturbation résiduelle		
1 an	$< 2.510^{-4} \text{rad} \sim 50"$		
100 ans	$< 2.510^{-2} \mathrm{rad} ^{\sim} 1.5^{\circ}$		



L'axe et la vitesse de rotation sont variables

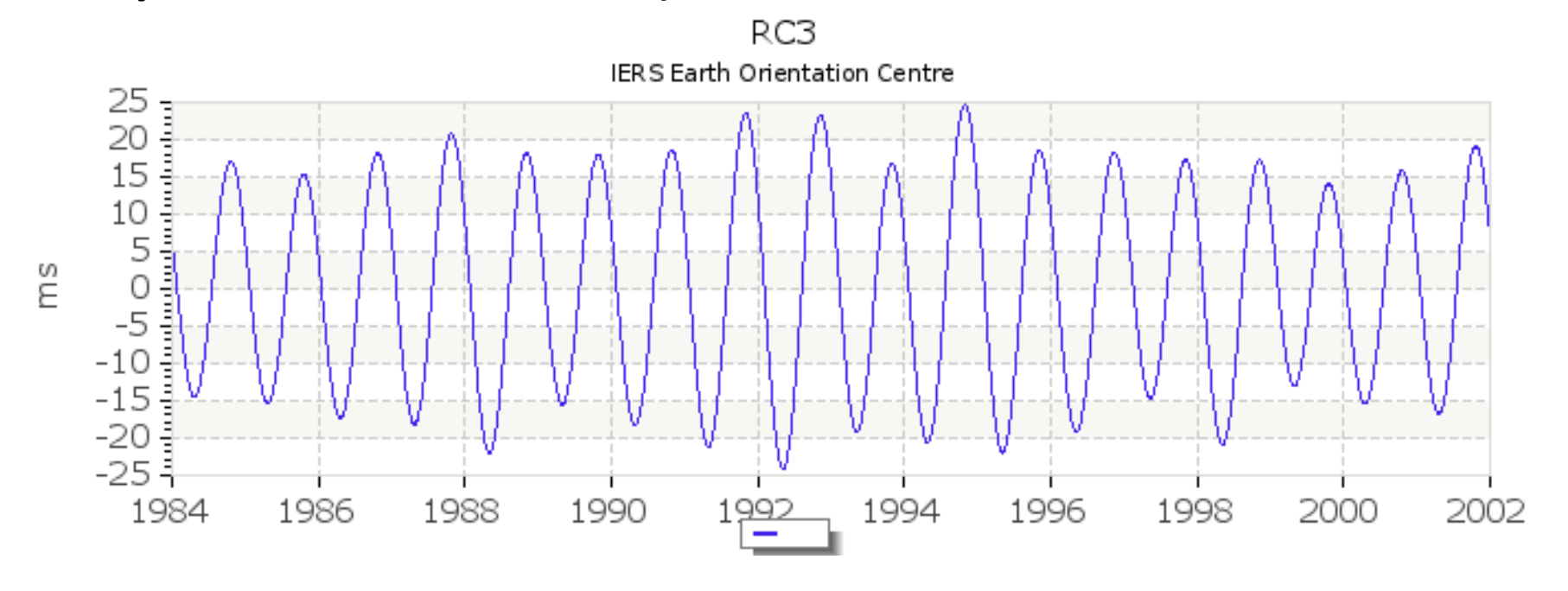
Si t = temps linéaire / horloge à quartz / horloge atomique, l'angle de rotation ne varie plus linéairement dans le temps

$$\theta(t) = \Omega \left(t - t_0 \right) + \underbrace{\Delta \theta(t)}_{non \ lin\'eaire}$$



 $\Delta\theta(t)$

Variation saisonnière de UT1 (découvertes par Stoyko en 1940-1950)



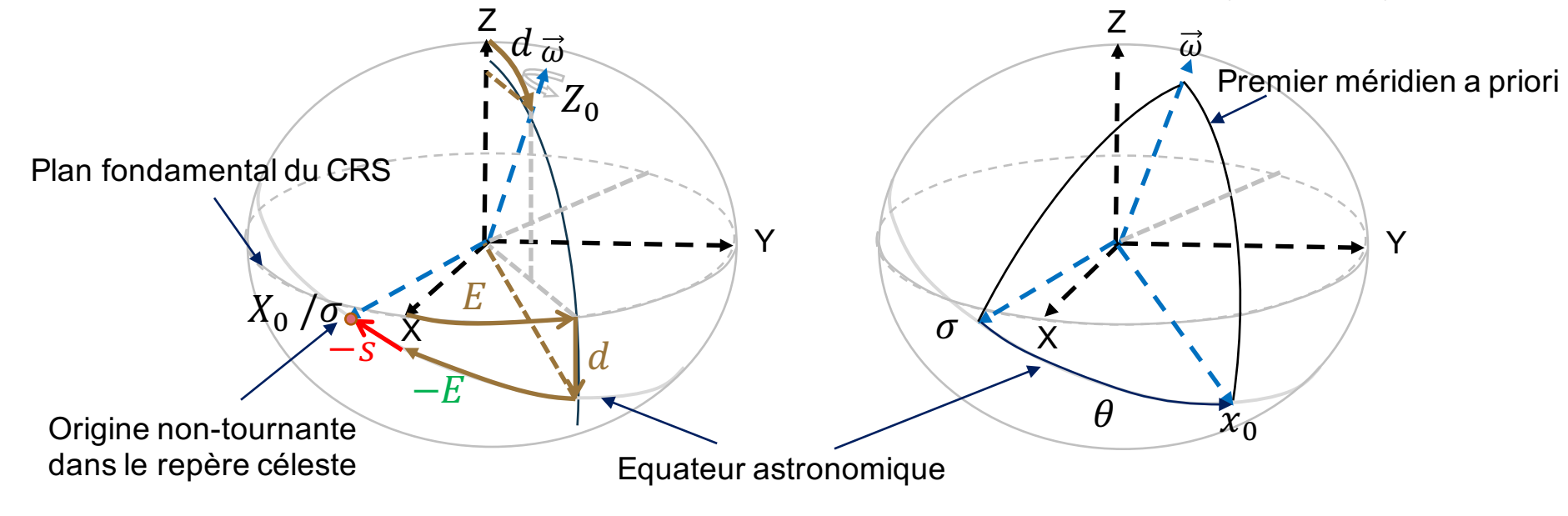
⇒ M : rotation diurne variable + précession-nutation modélisée

$$M = \underbrace{R_3(\theta(t))}_{\text{rotation diurne}} * R_3(-s) * \underbrace{R_3(-E) R_2(d) R_3(E)}_{\text{précession-nutation PN}}$$

- E, d: longitude/co-latitude du pôle de rotation animé de la précession-nutation
- $\theta(t) = \Omega(t t_0) + \Delta \theta(t) = \Omega(UT1 t_0)$ («Earth Rotation Angle» ERA)

UT1 : temps irrégulier de la rotation de la Terre

 $\Omega = 7.292\ 115\ 146\ 706\ 980\ 10^{-5}\ \text{ rad/s}$: vitesse de référence (nominale)



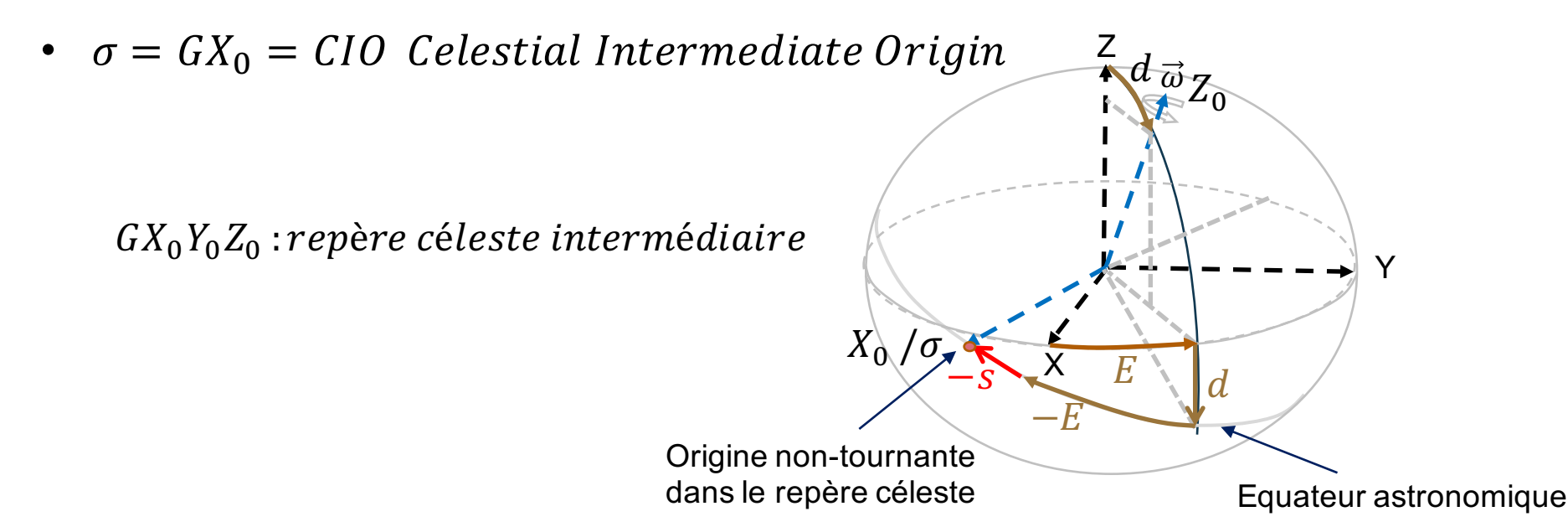
$$GXYZ \qquad \rightarrow GX_0Y_0Z_0 \qquad \Rightarrow Gx_0y_0Z_0$$

sytème céleste \rightarrow système céleste intermédiaire \rightarrow système terrestre a - priori

Origine non tournante céleste

- Direction σ sur l'équateur astronomique (« vrai ») $(\perp \hat{Z}_0)$
- Rotation instantanée $\overrightarrow{\Omega}_{\sigma}$ associée à la rotation $R_3(-s-E)$ $R_2(d)R_3(E)$
- σ ne présente pas de rotation instantanée sur l'équateur astronomique par rapport au repère céleste ightarrow condition cinématique : $\vec{\Omega}_{\sigma}$. $\hat{Z}_0=0$

$$\dot{s} = \dot{E}(cod - 1) \rightarrow s = \int_{t_0}^{t} (cosd - 1)dE + s(t_0)$$



Expression de s selon les Conventions IERS 2010

$$X = \cos E \cos d \qquad Y = \sin E \cos d \quad s = \int_{t_0}^{t} (\cos d - 1) dE + s(t_0)$$

Table 5.2d: Development of s(t) compatible with the IAU 2006/2000A precession-nutation model: all terms exceeding $0.5 \,\mu$ as during the interval 1975–2025 (unit μ as). The expressions for the fundamental arguments appearing in column 1 are given by Eq. (5.43).

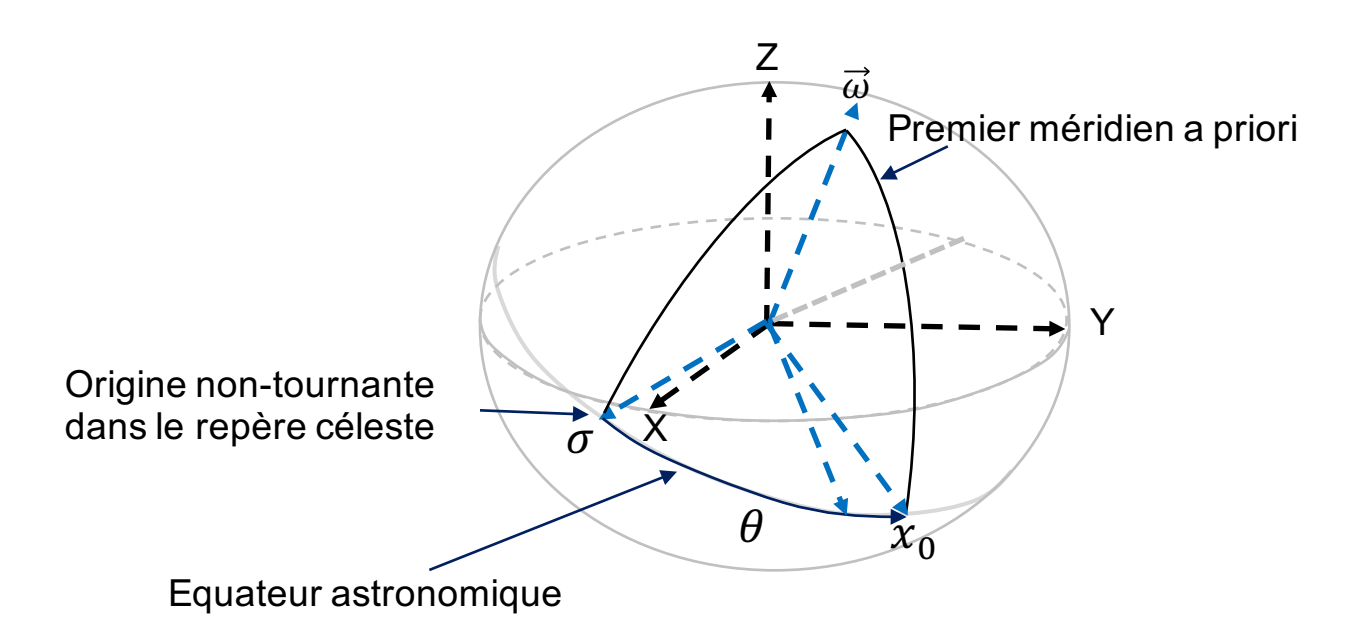
	0	11	0		· · ·	/
s(t) =			$t - 122.68t^2 - 7$			
	$+1.73t\sin\Omega$	$+3.57t\cos$	$2\Omega + 743.52t^2$ s	$\sin \Omega + 56$.	$91t^2\sin(2H)$	$(7-2D+2\Omega)$
	$+9.84t^{2}\sin(2$	$F + 2\Omega$) –	$-8.85t^2\sin2\Omega$			

$+9.84t^{2}\sin(2F+2\Omega t)-8.85t^{2}\sin(2F+2\Omega t)$	111 237
Argument α_k	Amplitude C_k
Ω	-2640.73
2Ω	-63.53
$2F - 2D + 3\Omega$	-11.75
$2F - 2D + \Omega$	-11.21
$2F - 2D + 2\Omega$	+4.57
$2F + 3\Omega$	-2.02
$2F + \Omega$	-1.98
3Ω	+1.72
$l' + \Omega$	+1.41
$l'-\Omega$	+1.26
$l + \Omega$	+0.63
$l-\Omega$	+0.63

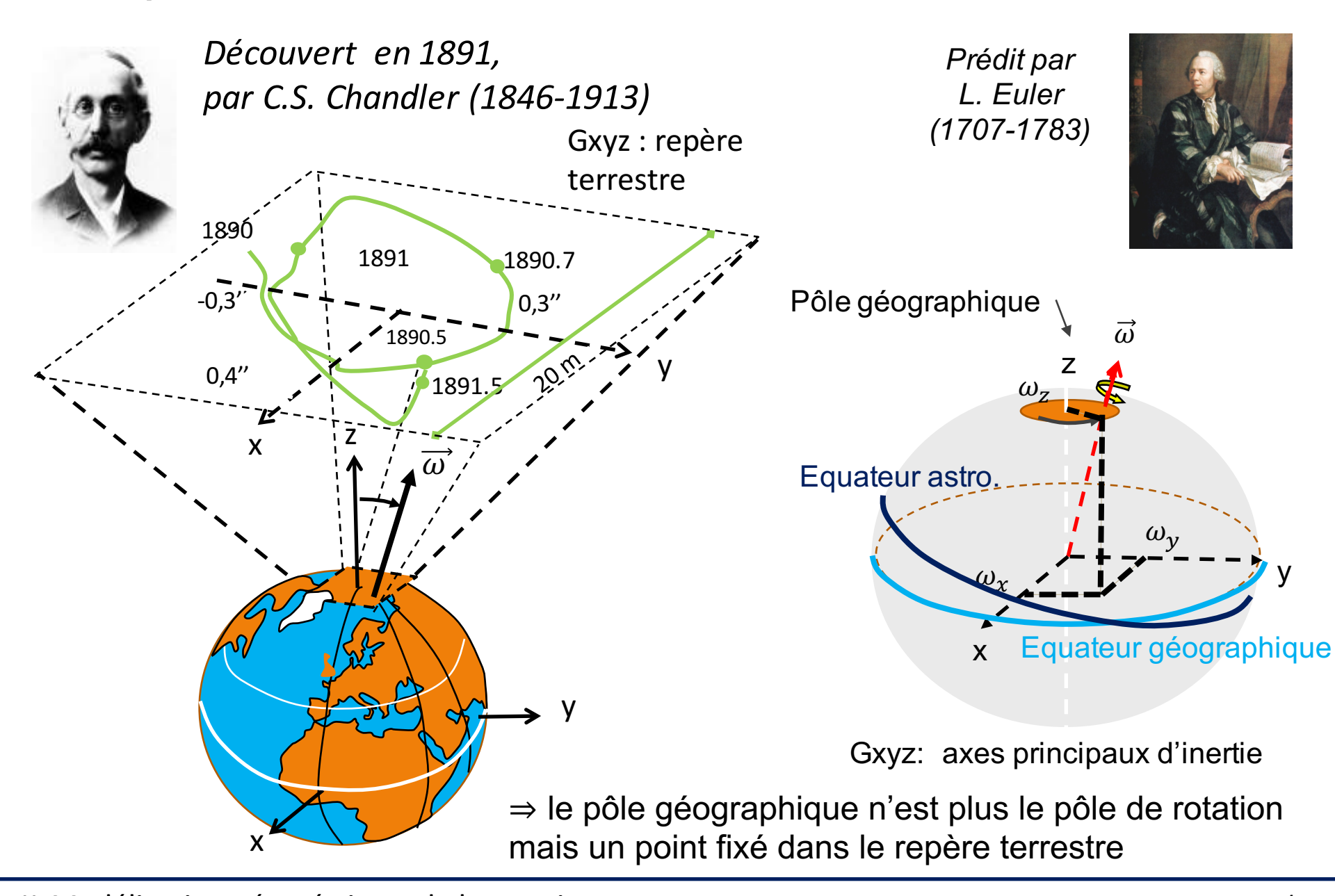
M: transformation du repère céleste GXYZ au repère terrestre apriori $Gx_0y_0z_0$

	Perturbation résiduelle
1 an	$< 10^{-6} \text{rad } ^{\circ} 0.2''$
100 ans	< 1"

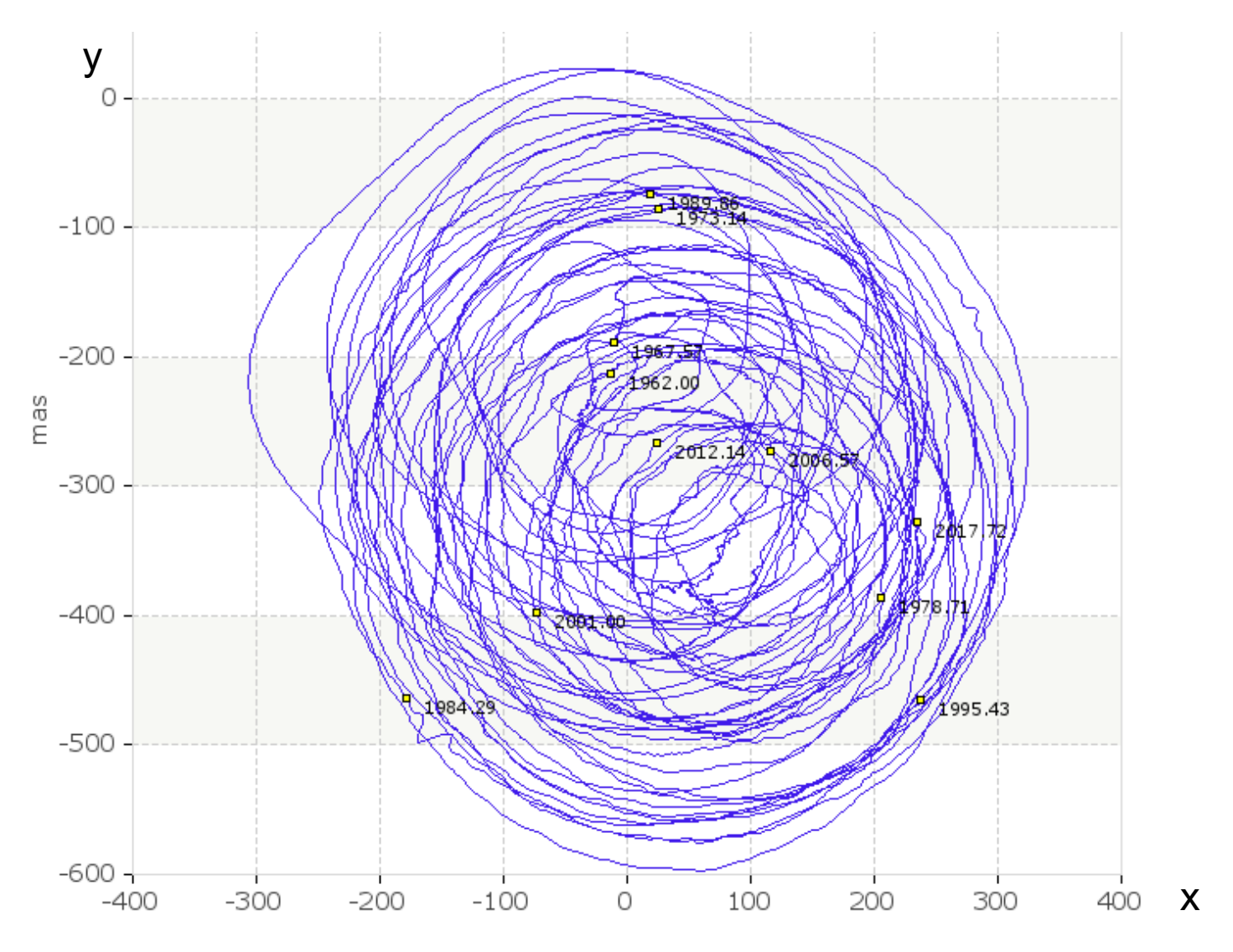
$$x_0 = R_3 (\Omega(\mathbf{t} - t_0) + \Delta \theta(t)) * R_3 (-s) * PN(E, d) \underline{X}$$



Le pôle de rotation se meut sur la croûte terrestre



Trajectoire de $x_p + i y_p$ dans le plan tangent au pôle nord géographique 1962-2017



Origine non tournante dans le repère terrestre

• Comme dans le repère céleste, sur le plan de l'équateur on définit une origine non tournante par rapport au repère terrestre, à laquelle aboutit l'angle de rotation: $\theta(t) = \sigma \sigma'$

Méridien terrestre a-priori

• $\sigma'/Gx'_0 = TIO$ Terrestrial Intermediate Origin

$$\underline{x'_0} = R_3(s') \, \underline{x_0}$$

$$s' = 0.047 \ mas * t \ [siècle] \ [Eq. 5.13]$$

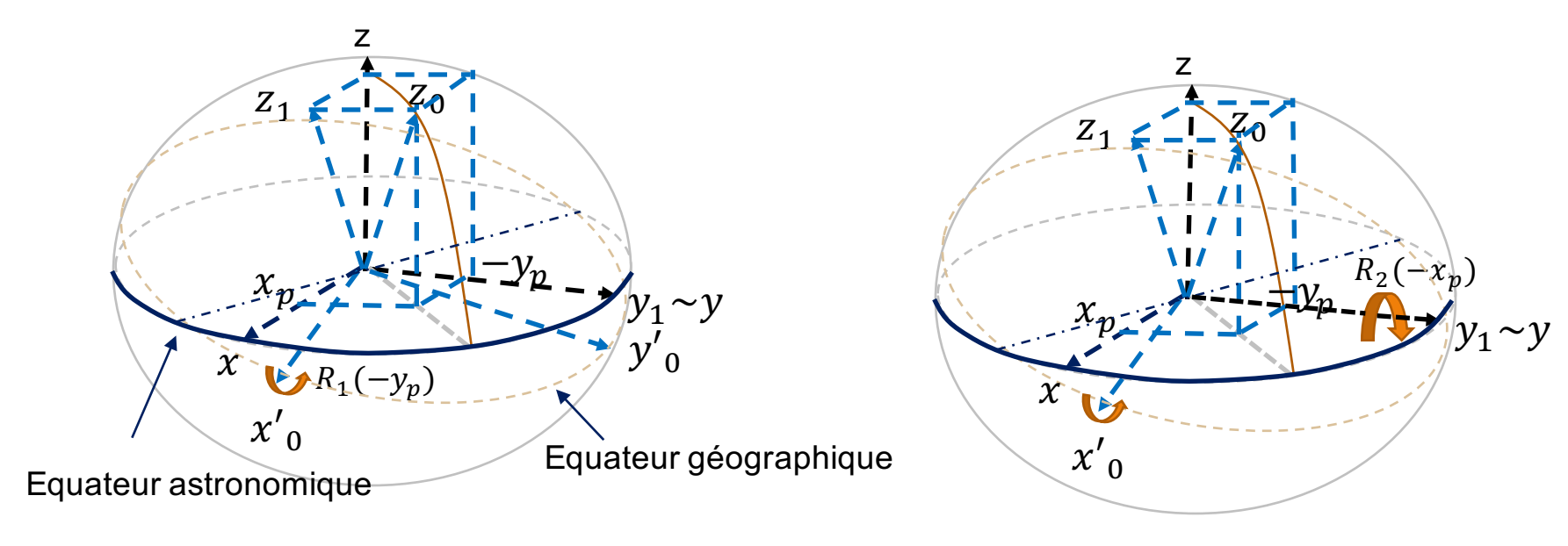
5.13] x_0 Equateur géographique x_0 Origine non-tournante dans le repère terrestre σ' Equateur astronomique

 Z_0

système $Gx_0y_0z_0 \rightarrow$ système terrestre intermédiaire $Gx'_0y'_0z_0$

$$\Rightarrow M = \begin{cases} \text{(1)} \text{ précession-nutation modélisée et passage à la la CIO: } R_3 (-s) PN(E, d) \\ \text{(2)} \text{ rotation diurne variable et passage entre CIO et TIO: } R_3 (\Omega t + \Delta \theta(t)) \\ \text{(3)} \text{ système terrestre intermédaire } Gx'_0y'_0z_0 \longrightarrow \text{ système terrestre } Gxyz \end{cases}$$

$$\underline{x} = R_2(-x_p)R_1(-y_p)R_3(s')x_0$$



Cosinus directeurs de $0z_0$ dans Gxyz: x_p , $-y_p$, 1

Synthèse et paradoxe

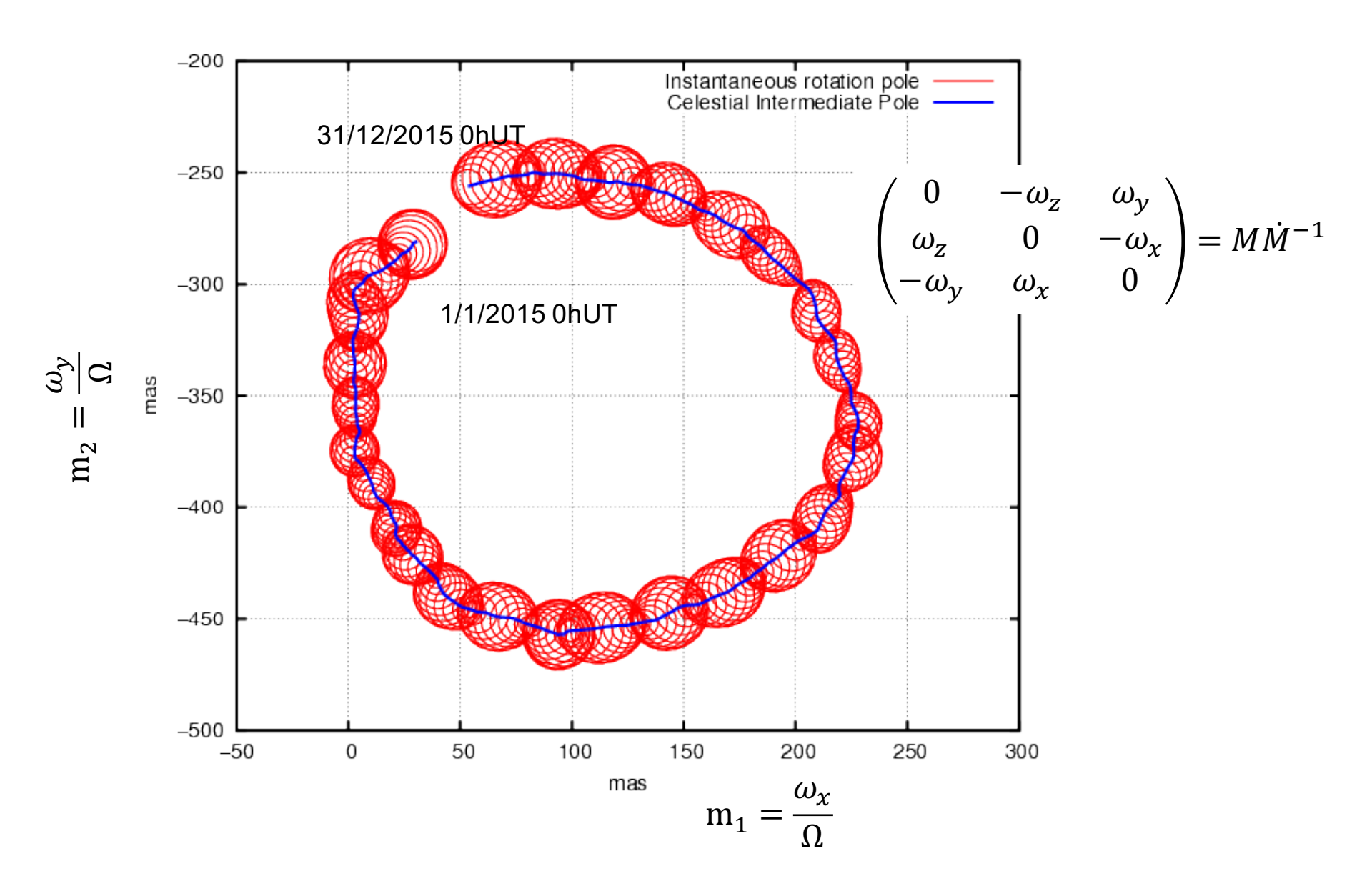
 Transformation construite autour de l'axe de rotation, en distinguant la rotation diurne des l'oscillations axiales

- Or la géodésie spatiale ne permet pas de déterminer l'axe de rotation!
- En fait, les paramètres introduits concernent un pseudo-pôle de rotation en réalité un pôle géométrique, appelé pôle céleste intermédiaire.

Le pôle céleste intermédiaire

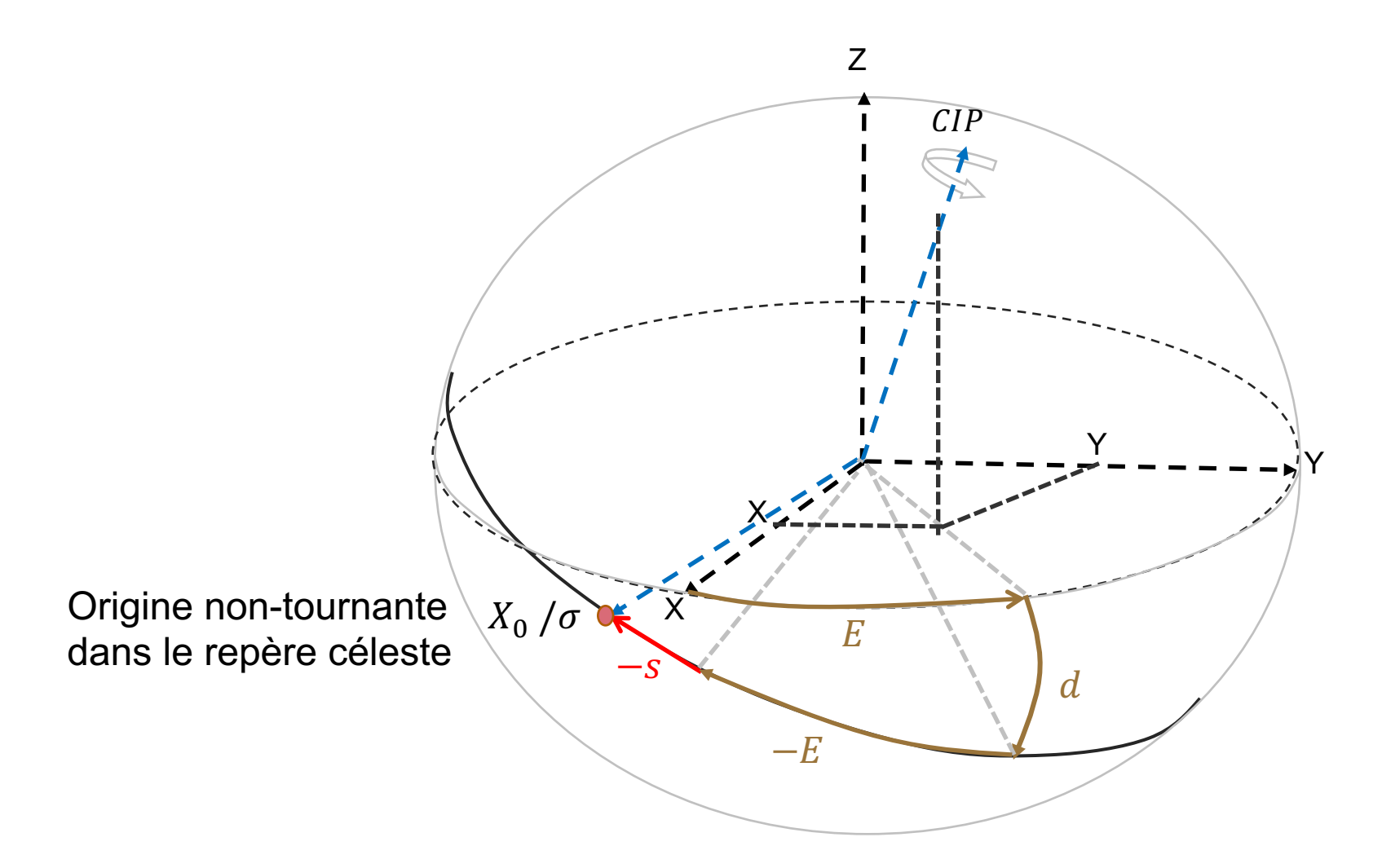
- Au lieu de l'axe de rotation, on prend l'axe de figure (l'axe d'inertie moyen) animé de la précession-nutation luni-solaire dont on limite le développement aux termes de périodes > 2 j.
- Le pôle correspondant, ou CIP, reste à proximité du pôle de rotation instantané à 20 mas près.
- → On remplace l'axe de rotation par l'axe céleste intermédiaire.

CIP et pôle de rotation dans le repère terrestre



Les coordonnées célestes X et Y du CIP





I-Introduction

II- Principe de la modélisation cinématique et géométrique de la rotation terrestre [IERS Conv Chap 5]

III-Les paramètres de rotation de la Terre et leur partie modélisée [IERS Conv Chap 5/8]

IV- Calcul pratique de la transformation de coordonnées

Les paramètres de rotation de la Terre

 Définition: ce sont les angles des rotations résiduelles à appliquer à la partie « régulière » de la transformation M pour en obtenir la totalité

$$M_{r\'egulier} = R_3(s')$$
 $R_3(\Omega(t-t_0))$ $R_3(-s)$ $PN(X,Y)$ rotation diurne uniforme prec-nutation modélisée

R₃: Rotation autour de l'axe céleste intermédiaire

$$M_{total} = R_2 (-x_p) R_1 (-y_p) R_3(s') R_3(\Omega (UT1 - t + t - t_0)) R_3(-s) PN(X + dX, Y + dY)$$

- Partie régulière : 99.9999% de la transformation !
- Résidu angulaire de $0.00001\% = 10^{-7}$ rad ~ 0,2" décrit par les 5 paramètres de rotation:
 - 1. x_p, y_p coordonnées terrestre du CIP ou coordonnées du pôle < 0.300"
 - 2. UT1 − t irrégularité du temps de rotation terrestre < 0.02 s
 - 3. dX, dY correction sur les coordonnées célestes du CIP < 0.001"

Séparation des oscillations célestes et terrestres du CIP

$$dX + i dY = (x_p - i y_p) e^{i\theta} \text{ avec } \theta(t) = \Omega(t - t_0) + \Delta\theta(t)$$

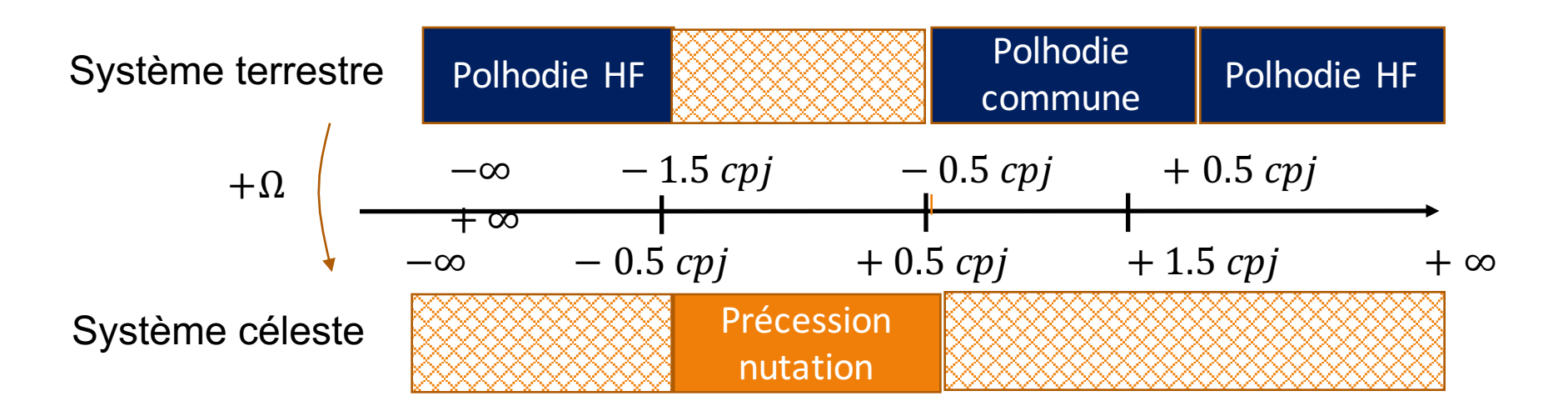
En l'absence de contrainte sur les oscillations célestes et terrestres du CIP, une nutation de période > 2 j est un mouvement du pôle rétrograde diurne. Inversement une oscillation $(x_p - i y_p)$ de période T> 2 j est une nutation prograde quasi-diurne.

Pôle géographique dY X_0/σ CIP modélisé

Projection sur le plan céleste intermédiaire $X_0Y_0 \sim$ Equateur géographique

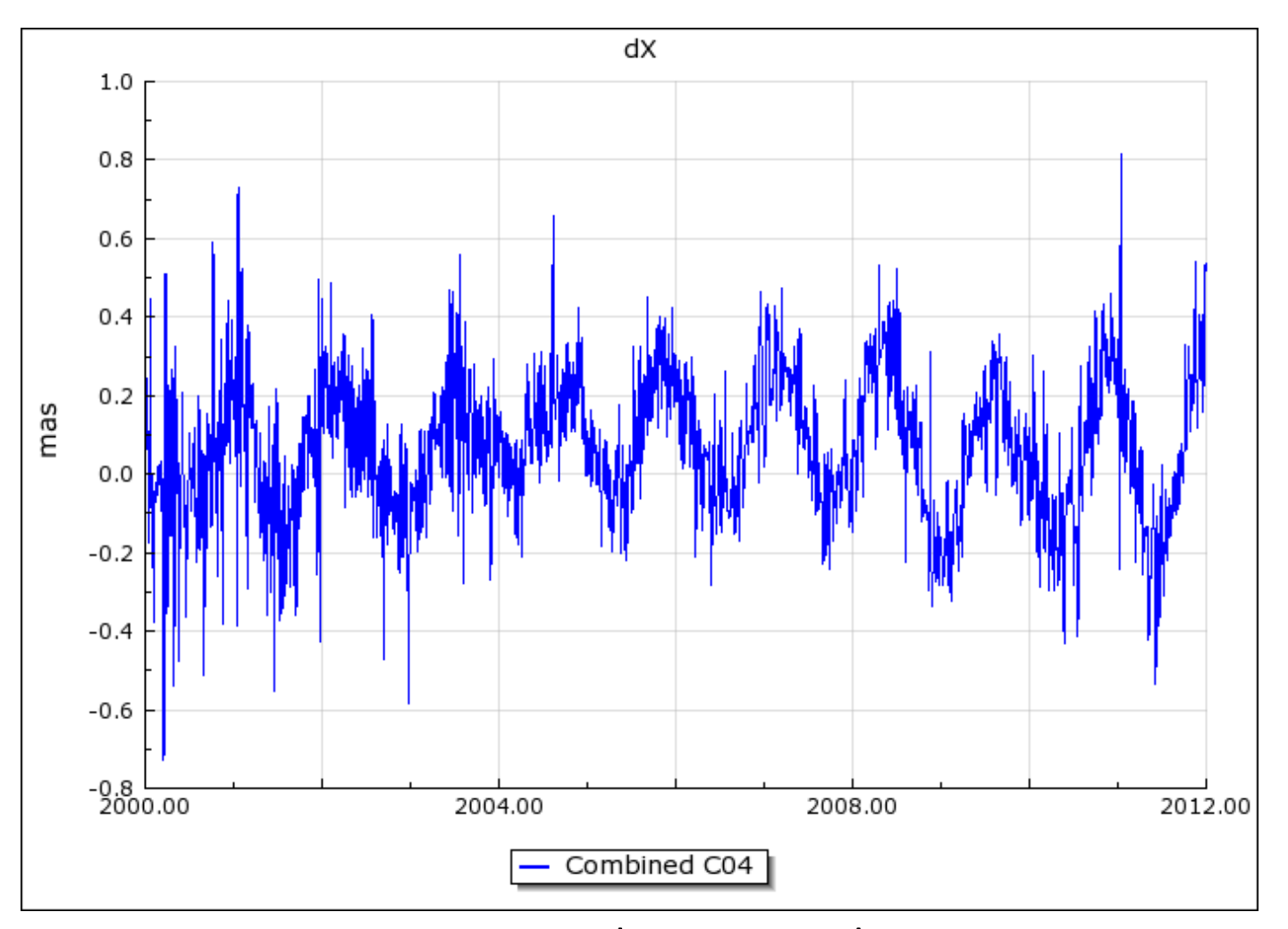
Séparation des oscillations célestes et terrestres du CIP

Par définition le mouvement du pôle du CIP contient toutes les fréquences à l'exclusion de $[-1.5\ cp, -0.5\ cpj]$. Ainsi $(dX, dY)\ et\ (x_p, y_p)$ ne se recoupent pas.



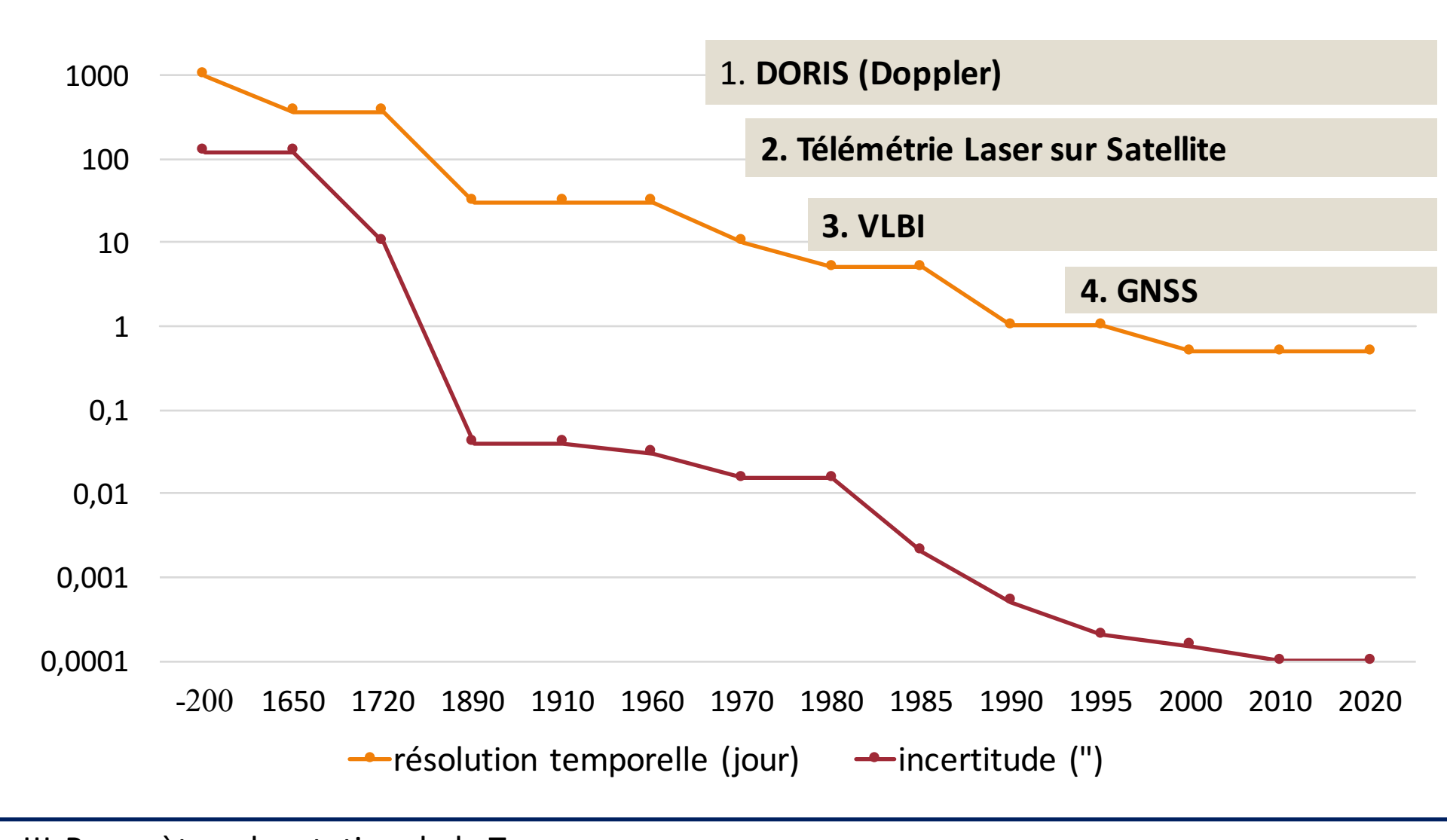
Correction de nutation ou écarts au pôle céleste

C'est essentiellement la « nutation libre du noyau » en 430 j

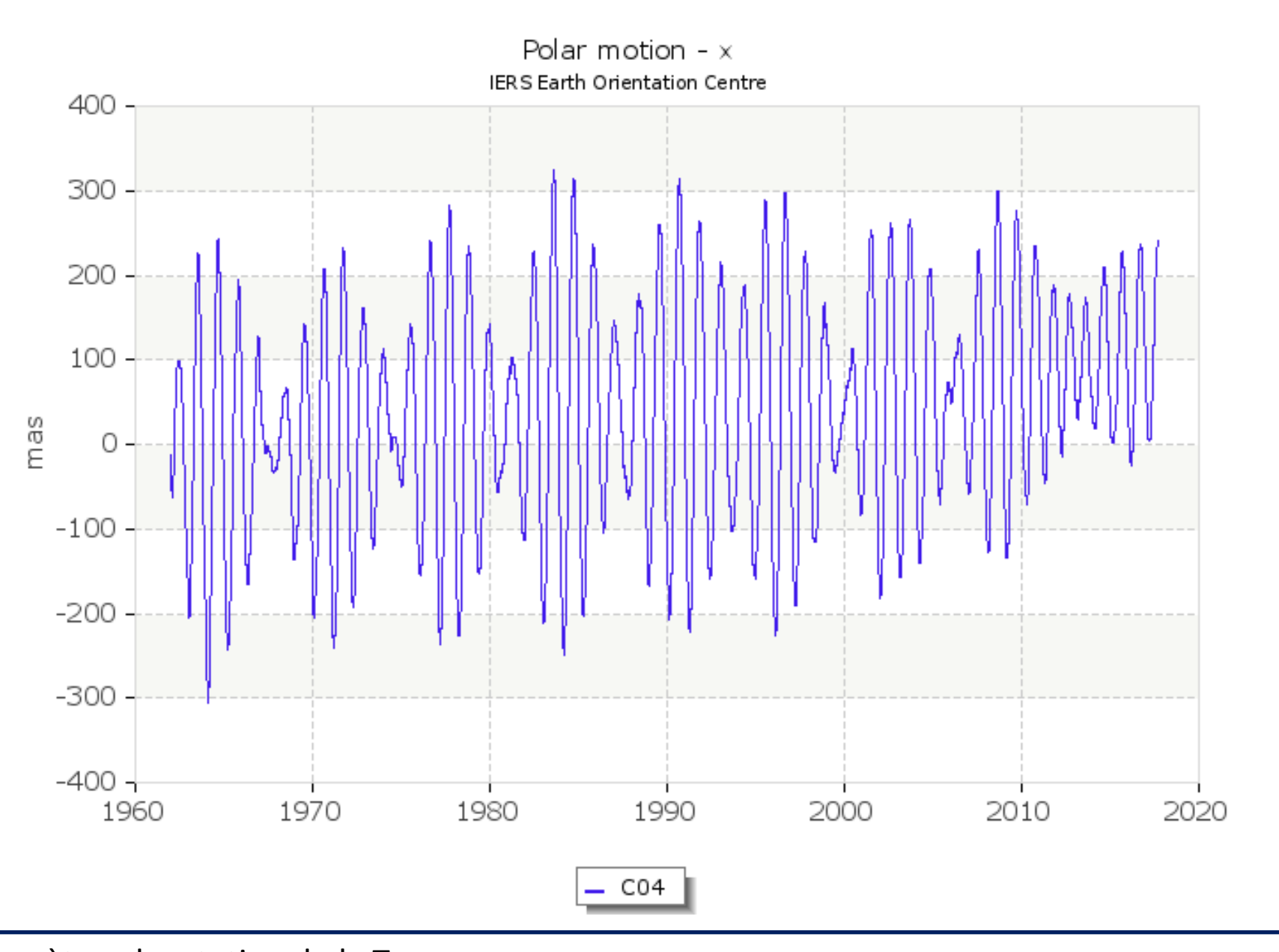


Correction de nutation dX

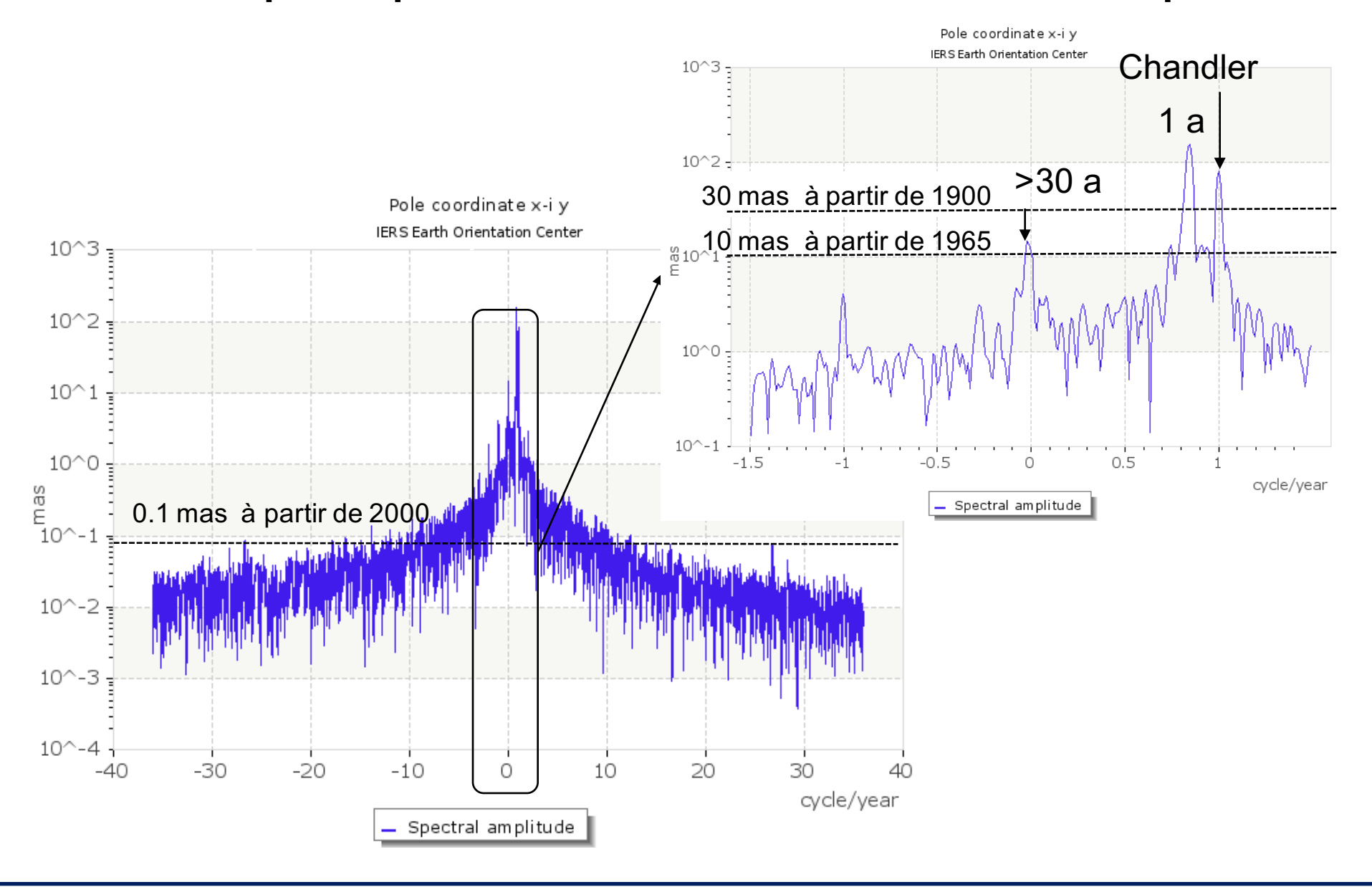
Précision et résolution temporelle des PRT



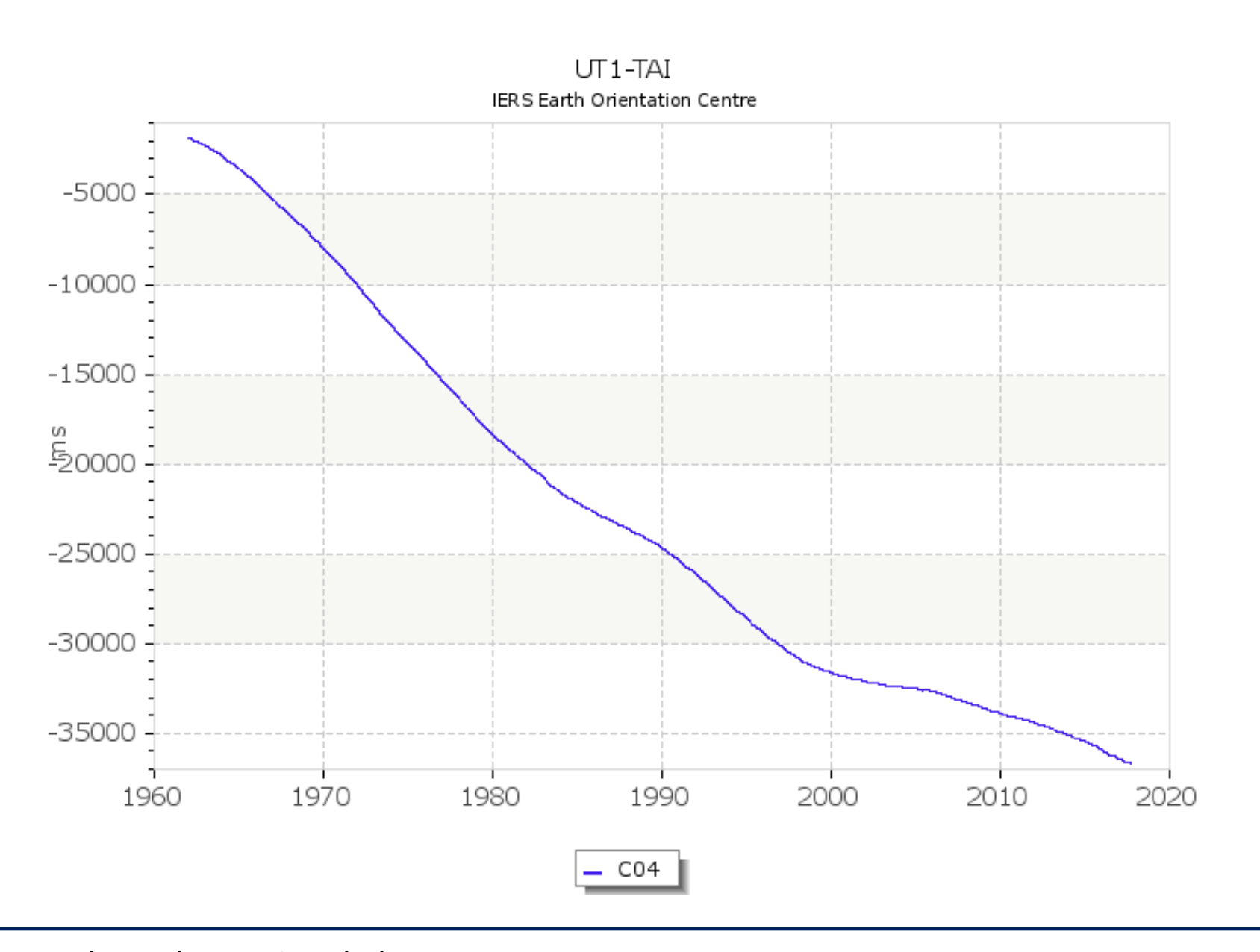
Coordonnées du pôle



Historique spectral des coordonnées du pôle



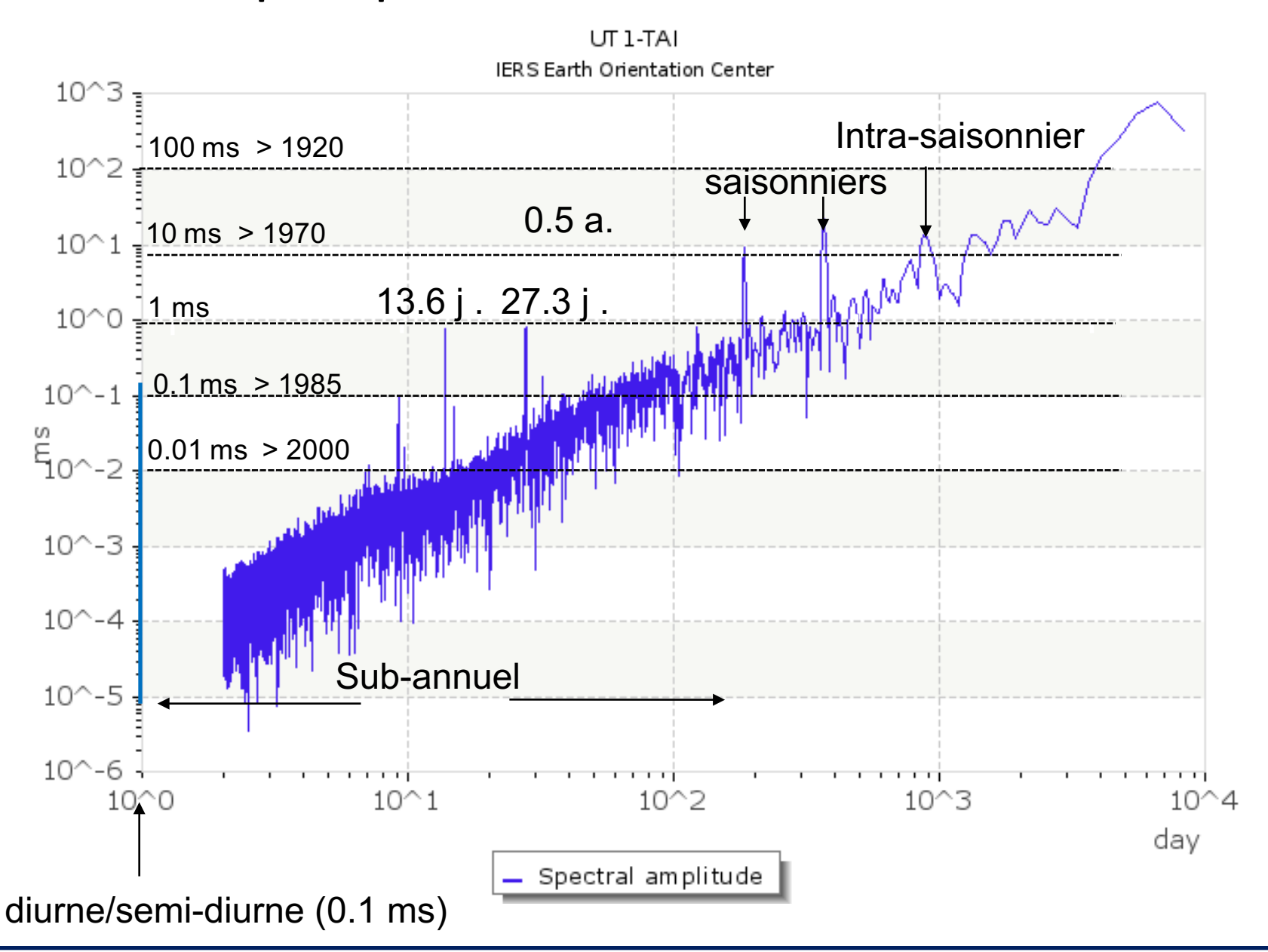
UT1 - TAI 1956-2018



Variations correspondantes de la durée du jour



« Historique spectral » de UT1



Paramètres de rotation « cinématiques »

- La théorie dynamique est construite avec $\vec{\omega}$. La comparaison théorie/observation **nécessite** de reconstituer $\vec{\omega}$.
- Les techniques satellitaires donnent accès à $\dot{x}_{\rm p}$, $\dot{y}_{\rm p}$ et ω_z avec une résolution temporelle d'au plus 1 h, mais une précision dégradée.
- Les relations cinématiques établissent le lien entre les paramètres de la transformation géométriques et les composantes du vecteur instantané de rotation

$$\overrightarrow{\omega} = \Omega(m_1, m_2, 1 + m_3)$$
 $m = m_1 + i m_2$ $p = x_p - i y_p$
$$\|\overrightarrow{\omega}\| = \Omega(1 + m_3) + O(m^2) \cong \omega_z$$

On démontre alors que la contribution de p à m est $m = p - i \frac{p}{\Omega}$

Dans le domaine des fréquences $\delta m(\sigma) = p(\sigma) \left(1 + \frac{\sigma}{\Omega}\right)$.

Pour les pulsations $\sigma \ll \Omega$ (mouvement du pôle > 10 jours) $\mathbf{m}(t) \cong \mathbf{p}(t)$ Pour les pulsations $\sigma \sim \Omega$ $\mathbf{m}(t) \neq \mathbf{p}(t)$

Ecart à la durée du jour

- Durée du jour sidéral : $D_{sid} = \frac{2 \pi}{\omega_z}$
- Durée du jour solaire moyen : D = k $\frac{2\pi}{\omega_z}$ avec k=1.002 737 909 350 795
- Valeur nominale de D : $D_0 = k \frac{2 \pi}{\Omega} = 86400 \text{ s TAI}$ avec $\Omega = 7.292 \ 115 \ 146 \ 706 \ 980 \ 10^{-5} \ rad/s$
- Ecart à la durée du jour (appelé erronément «excess»):

$$\Delta D = D - D_0 = k \frac{2\pi}{\omega_z} - k \frac{2\pi}{\Omega} = k \frac{2\pi}{\Omega} - k \frac{2\pi}{\Omega} = -k \frac{2\pi}{\Omega} = -k \frac{2\pi}{\Omega} m_3 + O(m_3^2)$$

$$\rightarrow \Delta D = -D_0 m_3$$

Comme $\theta(t) = \Omega (t - t_0 + UT1 - t)$

$$\begin{split} \|\vec{\omega}\| &= \omega_Z = \frac{d\theta}{dt} = \Omega \ + \Omega \frac{d(UT1-t)}{dt} \Rightarrow \frac{d(UT1-t)}{dt} = \frac{\omega_Z - \Omega}{\Omega} = m_3 = -\frac{\Delta D}{D_0} \\ \frac{\Delta D}{D_0} &= -\frac{d(UT1-t)}{dt} \\ \text{"LOD"} &= \Delta D = -\frac{d(UT1-t)}{dt} \text{ n'est vrai que si } t \text{ est exprimé en j (1j= } D_0) \end{split}$$

Modèles de variations des PRT

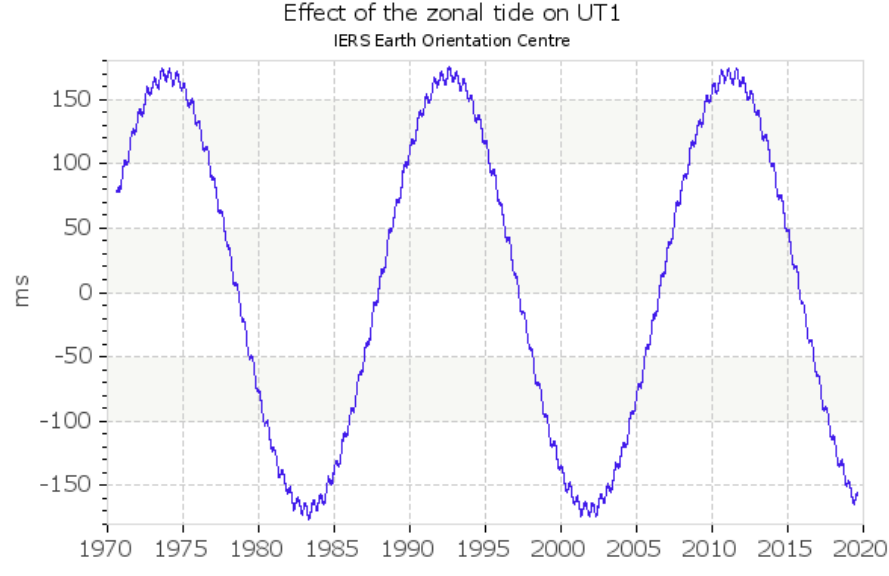
En fait x_p, y_p et UT1 ont une partie régulière faisant l'objet de modèles analytiques. C'est l'effet:

- des marées solides ou océaniques
- du moment de force luni-solaire sur la triaxialité

Modèles de variations des PRT au-delà de 2 jours

- Marées zonales → variations de UT1 de l'ordre de 0.15 s (2") faisant l'objet d'un modèle conventionnel [Tab 8.1] UT1/LOD corrigés des effets de marées zonales sont notés UT1R/LODR
- Deux modèles superflus pour le traitement des observations:
 - Effets des marées océaniques sur le mouvement du pôle (<200 μas) et son excitation [Tab 8.4]
 - Couplage luni-solaire triaxial → oscillations du mouvement du pôle <30 μs [Tab 5.1a, partie sup.]

 L'ensemble de ces effets sont inclus dans les PRT



Modèles de variations des PRT < 2 jours

Effets des marées océaniques diurnes et semi-diurnes

```
\rightarrow 0.5 mas sur x_p, y_p [Tab 8.2a / 8.2b]
\rightarrow 0.1 ms sur UT1 [Tab 8.3a / 8.3b]
```

- Effet luni-solaire sur la triaxialité:
 - \rightarrow oscillations diurnes de x_p , y_p (~ 10 μ s) [Tab 5.1a, partie inf.]
 - \rightarrow librations semi-diurnes de UT1 (~ 2 µs)/LOD [Tab 5.1b]
- Les séries $x_p, y_p, UT1, LOD$ données par l'IERS n'incluent pas ces effets et doivent être ajoutés

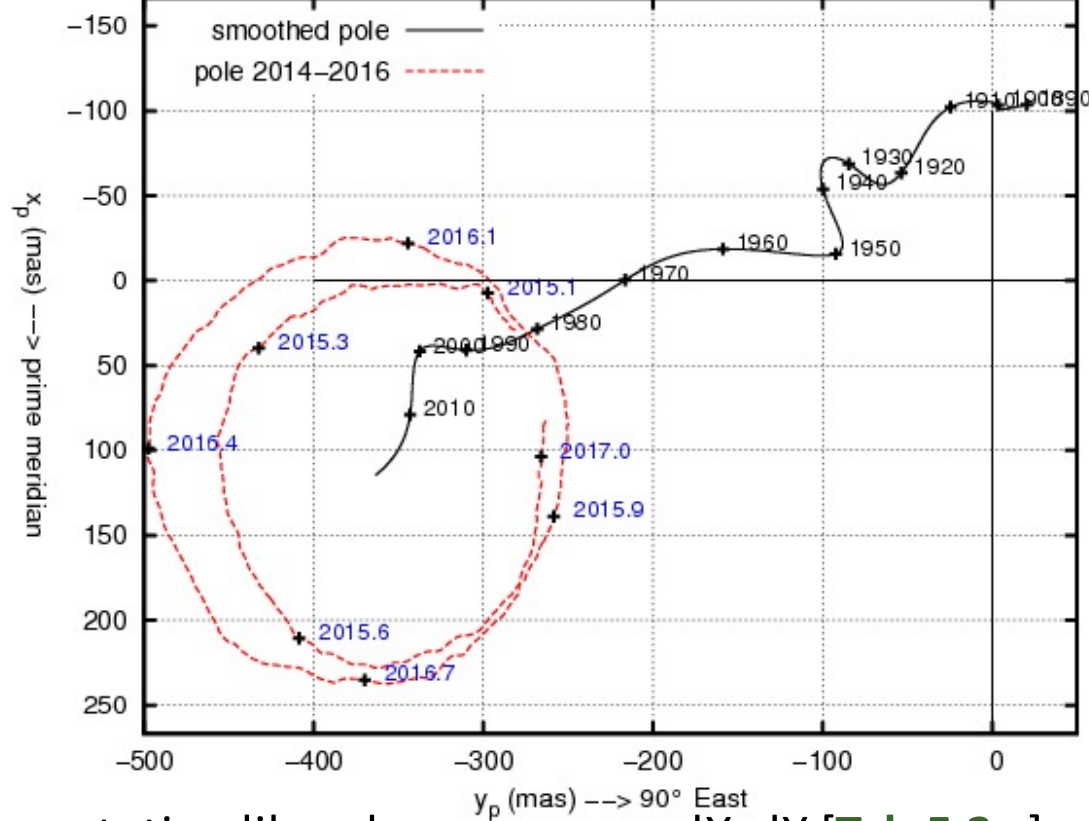
Modèles de variations des PRT empiriques

Dérive séculaire du pôle:

$$x_p = a_0 + a_1t + a_2t^2 + \cdots$$
 $y_p = b_0 + b_1t + b_2t^2 + \cdots$

[Conv. 2010, Section 7.1.4: dérive cubique], retour à un polynôme d'ordre 1

en 2017



Modèle empirique de la nutation libre du noyau pour dX, dY [Tab 5.2 c]

I-Introduction

II- Principe de la modélisation cinématique et géométrique de la rotation terrestre [IERS Conv Chap 5]

III-Les paramètres de rotation de la Terre et leur partie modélisée [IERS Conv Chap 5/8]

IV- Calcul pratique de la transformation de coordonnées

Le calcul de la transformation de coordonnées

Le développement analytique de la matrice

$$\mathbf{M} = R_2 (-x_p) R_1 (-y_p) R_3(s') R_3(\Omega (\mathbf{UT1} - \mathbf{t} + \mathbf{t} - t_0)) R_3(-s) PN(X + dX, Y + dY)$$

avec t = UTC/UT1 est trop long pour être codé. On effectue numériquement le produits des matrices élémentaires.

Utilisation de librairies telle que SOFA: ardue pour un non spécialiste

Le calcul de la transformation de coordonnées

- Alternative du projet NERS (Network Earth Rotation Service). La matrice de rotation à tout instant passé, présent et futur peut être obtenue:
 - ✓ Sur requête
 - ✓ En installant un programme faisant le calcul localement avec les données rapatriées depuis un serveur de la NASA

PRT officiels de l'IERS (CO4/Bulletin A)

Mise à jour toutes minutes des PRT en quasi temps réel (au mieux à 1 h près) sur la base des observations VLBI intensives et des prédictions atmosphériques

Autres produits associés fournis par le NERS: angles d'Euler, dérivée de la matrice de rotation, bientôt le quaternion de rotation, etc...

Quaternion de rotation de la Terre

 En avant première (Bizouard & Petrov 2018): une transformation reflétant la symétrie par rapport au CIP

$$q = \frac{1}{\sqrt{2(1+Z)}} \begin{vmatrix} \cos\frac{\theta+s'-s}{2} \left(1+Z-\frac{y}{2}Y+\frac{x}{2}X\right) + \sin\frac{\theta+s'-s}{2} \left(\frac{y}{2}X+\frac{x}{2}Y\right) \\ \cos\frac{\theta+s'-s}{2} \left(-Y-\frac{y}{2}(1+Z)\right) + \sin\frac{\theta+s'-s}{2} \left(X+\frac{x}{2}(1+Z)\right) \\ \cos\frac{\theta+s'-s}{2} \left(X-\frac{x}{2}(1+Z)\right) + \sin\frac{\theta+s'-s}{2} \left(Y-\frac{y}{2}(1+Z)\right) \\ \cos\frac{\theta+s'-s}{2} \left(\frac{y}{2}X+\frac{x}{2}Y\right) + \sin\frac{\theta+s'-s}{2} \left(1+Z+\frac{y}{2}Y-\frac{x}{2}X\right) \end{vmatrix}$$

Conclusion

- Description conventionnelle de la rotation terrestre: on sépare la partie régulière f(t) de la partie « irrégulière » donnée par 5 paramètres de rotation de la Terre (x, y, UT1 TAI, dX, dY) et leur dérivées. Elle s'articule autour d'un pseudo-axe de rotation, le CIP, déterminé par la précession-nutation de l'axe de figure > 2 j.
- Le CIP opère dans la position du pôle géographique nord une séparation entre les oscillations célestes d'origine essentiellement gravitationnelles (la précession-nutation) et ses oscillations terrestres essentiellement d'origine géophysique (coordonnées du pôle)
- En fait une partie des variations de x, y, UT1 TAI sont régulières (effets des marées) et font l'objet de modèles conventionnelles IERS.
- Programmation ardue. Alternative de la transformation de coordonnées « clés en main » (projet NERS).